

TMS320F2812 DSP 的 FFT 运算和 DCT 实现*

艾红, 邓大伟

(北京信息科技大学 自动化学院, 北京 100192)

摘要: 介绍了快速傅里叶变换 (FFT) 算法的原理, 利用 DSP 实现了 FFT 算法, 利用 TMS320F2812 DSP 内部的 ADC 模块与事件管理器的定时器实现信号的实时采集。分析了 DSP 中数据采集 ADC 的功能。基于 CCS 调试软件显示了输入输出信号波形。在 CCS 环境下, 采用 C 语言编程, 实现了 FFT 算法和离散余弦变换。

关键词: DSP; 快速傅里叶变换; A/D 转换; 离散余弦变换

中图分类号: TP332

文献标识码: A

文章编号: 1674-7720(2012)09-0020-04

Realization of FFT algorithm and DCT based on TMS320F2812 DSP

Ai Hong, Deng Dawei

(Automation Institute, Beijing Information Science & Technology University, Beijing 100192, China)

Abstract: The principle of Fast Fourier Transform (FFT) algorithm is described in this paper. FFT algorithm is realized by using of DSP. The system uses the internal ADC module and event-manager's general timer of TMS320F2812 DSP to achieve the real-time signal acquisition. ADC function of data collection is analyzed. The waveforms of input and output signals for FFT operations are displayed based on CCS debugging software. C language programming is used in environment of CCS, and FFT algorithm and DCT are realized.

Key words: DSP; FFT; A/D conversion; DCT

傅里叶变换是一种将信号从时域变换到频域的变换方式, 而快速傅里叶变换 FFT (Fast Fourier Transform) 是数字信号处理技术的基石。FFT 和离散余弦变换 DCT (Discrete Cosine Transform) 都是数字信号处理技术中的基本算法, 也是数字信号处理的基本工具。DSP 芯片的出现使 FFT 和 DCT 的实现更为方便。本文利用 TMS320F2812 DSP 内部的 ADC 模块与事件管理器 (EVA) 构建了数据采集与数据变换并行处理的信号处理系统, 充分利用 TMS320F2812 强大的数据处理能力, 实现了 FFT 运算, 提高了运算速度^[1-2]。

1 FFT 算法的实现

TI 公司的 TMS320F2812 DSP 是目前控制领域性能较高的处理器, 它将各种高级数字控制功能集成于一块芯片上, 整合了 Flash 存储器、快速的 A/D 转换器等外设, 强大的数据处理和控制能力大幅度提高了应用效率。

1.1 数据采集 ADC 功能

DSP 系统的模拟输入电压范围为 0~3 V。通过使用事件管理器的定时器 1 下溢中断启动 ADC。系统设计时晶振为 30 MHz, 经过锁相环倍频后 CPU 时钟频率 SYSCLKOUT 是 150 MHz, 事件管理器采用高速外设时钟 HSPCLK, 经过程序设计 6 分频得到高速外设时钟 HSPCLK 为 25 MHz。

```
SysCtrlRegs.HISPCP.all=0x3; //HSPCLK= SYSCLKOUT/6
```

将事件管理器中通用定时器 1 的周期寄存器值设置为 0x07FF, 每经过 2 048 (0x07FF+1) 个通用定时器的时钟周期启动一次 ADC。事件管理器中的通用定时器 1 由于没有对高速外设时钟分频, 因此通用定时器 1 的时钟频率为 25 MHz。

```
EvaRegs.T1PR=0x07FF; //设置通用定时器 1 周期寄存器
```

```
EvaRegs.GPTCONA.bit.T1TOADC=1;
```

```
//通用定时器 1 启动 ADC
```

```
EvaRegs.T1CON.all=0x1042;
```

* 基金项目: 北京市教育委员会科技计划面上项目 (KM200910772008)

//通用定时器 1 连续增计数模式,不分频,采用 HSPCLK
为了实现数据采集,设置 ADC 工作在级联排序器模式,最大转换通道数为 1,并且采集数据来自通道 ADCINA4,使能事件管理器 EVA 的触发信号启动 ADC 排序器 SEQ1,允许 ADC 产生中断。相关程序设计如下。

```
AdcRegs.ADCTRL1.bit.SEQ_CASC=1; //级联排序器模式
AdcRegs.ADCMAXCONV.all=0x0000;
//设置 1 个转换通道 AdcRegs.ADCCHSELSEQ1.bit.CONV00=0x4;
//设置转换通道 ADCINA4
AdcRegs.ADCTRL2.bit.EVA_SOC_SEQ1=1;
//使能 EVA 的触发信号启动排序器 SEQ1
AdcRegs.ADCTRL2.bit.INT_ENA_SEQ1=1;
//使能 SEQ1 产生的中断请求
当事件管理器的通用定时器 1 产生下溢中断时,启动 ADC。在 ADC 转换完成中断服务程序中读取 12 bit A/D 转换结果。程序设计如下:
```

```
interrupt void adc_isr(void)
{
    px[ConversionCount]=AdcRegs.ADCRESULT0>>4;
    if(ConversionCount==128)
    {ConversionCount=0;}
    else ConversionCount++;
    AdcRegs.ADCTRL2.bit.RST_SEQ1=1;
    //复位排序器 SEQ1
    AdcRegs.ADCST.bit.INT_SEQ1_CLR=1;
    //清除排序器 SEQ1 中断标志位
    PieCtrlRegs.PIEACK.all=PIEACK_GROUP1;
    //写 1 清零中断应答寄存器 PIEACK 相应位,
    //以便能够响应该组随后的中断
    return;
}
```

1.2 FFT 算法原理与程序流程图

FFT 是 DFT 的快速运算。由于有些信号在时域很难看出特性,使用 FFT 将其变换到频域,就会很容易看出其特性。DFT 算法的基本公式为:

$$X(k) = \sum_{n=0}^{N-1} x(n)W_N^{kn}, k=0, 1, \dots, N-1 \quad (1)$$

其中, $x(n)$ 表示时域信号, $X(k)$ 表示频域信号, W_N^{kn} 为运算蝶式权。

FFT 算法程序的基本流程图如图 1 所示。

首先需要对时域序列进行比特排序,即接收处理单元把放在数据空间中的每个采样点按地址读出,按比特逆序再放入数据空间,准备进行运算^[3]。

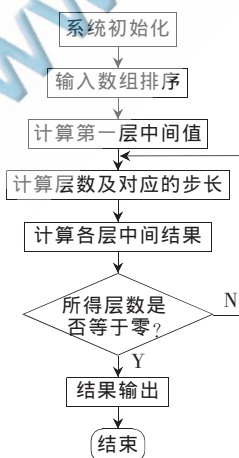


图 1 FFT 算法基本流程图

然后计算蝶式运算的重要元素:运算蝶式权 W_N^{kn} 。此处可充分利用 W_N^{kn} 的周期性,减少运算量,节省 DSP 的存储空间。以 8 点 FFT 为例,因为 $W_2^0=W_4^0=W_8^0$, $W_4^1=W_8^2$, 则计算 8 点 FFT 所有的运算蝶式权,只需将第三级即最后一级的运算蝶式权 W_8^0 , W_8^1 , W_8^2 算出即可。所以对于 N ($N=2^M$) 点 FFT 来说,只需计算出第 M 级的 M 个运算蝶式权即可得到各级的运算蝶式权。所有的 FFT 运算,第一级权值为 1,所以第一级权值不用计算,仅此一项就可大大减少运算量。 W_N^{kn} 可以分为实部和虚部两部分进行计算,即: $W_N^{kn} = \cos(2\pi kN/n) - j\sin(2\pi kN/n)$ 。在 FFT 中,每级的蝶式运算都具有不同数量的蝶群和不同的翅间距(第 M 级的翅间距为 $2M-1$),这些都需要定义相应的变量来控制。

1.3 FFT 算法程序运行结果

调整模拟信号的频率和幅值,通过 A/D 采集可以看到输入信号波形及其 FFT 算法程序执行结果,如图 2 和图 3 所示。



图 2 时域正弦波的 FFT 运行结果 1

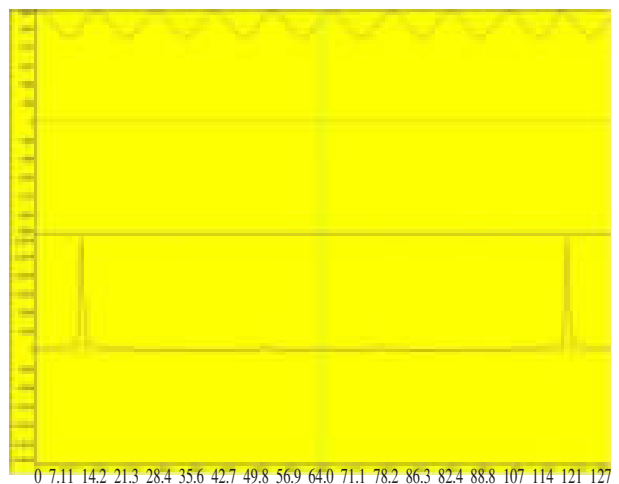


图 3 时域正弦波的 FFT 运行结果 2

2 DCT 的实现

2.1 DCT 基本原理

DCT 是一种与傅里叶变换紧密相关的数学运算。在傅里叶级数展开式中, 如果被展开的函数是实偶函数, 则其傅里叶级数中只包含余弦项, 再将其离散化可导出余弦变换, 因此称之为离散余弦变换。DCT 被认为是性能接近 K-L 变换的准最佳变换, 是对语音和图像信号进行变换的最佳方法。DCT 变换的快速算法有以下两种方式:

(1) 由于 FFT 算法的普遍采用, 直接利用 FFT 实现 DCT 变换的快速算法相对容易。但是这种方法也有不足之处, 即计算过程会涉及复数的运算。由于 DCT 变换前后的数据都是实数, 计算过程中引入了复数, 而一对复数的加法相当于两对实数的加法, 一对复数的乘法相当于 4 对实数的乘法和两对实数的加法, 显然是增加了运算量, 也给硬件存储提出了更高的要求。

(2) 直接在实数域进行 DCT 快速变换。显然, 这种方法的计算量和硬件要求都要优于前者。鉴于此, 本文采用第二种方法实现 DCT 变换的快速算法。

给定序列 $x(n), n=0, 1, \dots, N-1$, 其离散余弦变换定义为:

$$X_c(0) = \frac{1}{\sqrt{N}} \sum_{n=1}^{N-1} x(n)$$

$$X_c(k) = \sqrt{\frac{2}{N}} \sum_{n=1}^{N-1} x(n) \cos \frac{(2n+1)k\pi}{2N}, k=1, 2, \dots, N-1$$

显然, 其变换的核函数

$$G_{k,n} = \sqrt{\frac{2}{N}} \sum_{n=1}^{N-1} g_k \cos \frac{(2n+1)k\pi}{2N}, k, n=0, 1, \dots, N-1$$

为实数, 其中系数 $g_k = \begin{cases} 1/\sqrt{2}, & k=0 \\ 1, & k \neq 0 \end{cases}$

逆变换为:

$$x(n) = \frac{1}{\sqrt{N}} X(0) + \sqrt{\frac{2}{N}} \sum_{k=1}^{N-1} X(k) \cos \left[\frac{\pi}{2N} (2x+1)k \right]$$

其中 $k, n=0, 1, \dots, N-1$ 。

2.2 DCT 程序设计

DCT 程序设计流程图如图 4 所示。

程序先将一序列 $x(n)$ 作为输入信号进行离散余弦的正变换, 再将得到的结果进行离散余弦逆变换, 从而还原出输入序列 $x(n)$ 。程序实现的是 128 点的 DCT 变换。程序设计中, px 是正变换的输入序列, pz 是逆变换的输出序列。 x, y 和 z 是 3 个中间变量, 在正变换的子程序中, x 是输入

序列, y 是输出序列; 在逆变换的子程序中, y 是输入序列, z 是输出序列。程序设计如下:

```
#define pi 3.1415927
int px[128]; //输入序列
int pz[128]; //输出序列
double x[128], y[128], z[128];
int n=128;
void det1c2 (double x[], double y[], int n)
{
    double s, t;
    int i, j;
    s=0.0;
    for (i=0; i<=n-1; i++)
        { s=s+x[i]; }
    for (i=1; i<=n-1; i++)
        { t=0.0;
          for (j=0; j<=n-1; j++)
            {t=t+x[j]*cos((2.0*j+1)*i*pi/(2.0*n));}
          y[i]=sqrt(2.0/n)*t;}
    y[0]=s/(sqrt(n/1.0)); //DCT 正变换子程序
void idet1c2 (double y[], double z[], int n)
{
    double t;
    int i, j;
    for (i=0; i<=n-1; i++)
        {t=0.0;
          for (j=0; j<=n-1; j++)
            {t=t+y[j]*cos((2.0*i+1)*j*pi/(2.0*n));}
          z[i]=y[0]/(sqrt(n/1.0))+sqrt(2.0/n)*t;} //DCT 逆变换子程序
void main (void)
{
    int k=0;
    int i;
    int xm, zm;
    double xmid=0;
    for (; )
        { xmid=0;
          for (i=0; i<=127; i++)
            { xm = px[i];
              xmid=xmid+xm;
              x[i] = xm;}
            xmid=xmid/128.0;
          for(i=0; i<128; i++)
            { x[i]=x[i]-xmid; //压缩数据,防止溢出
              det1c2 (x, y, n); //进行 DCT 正变换
              idet1c2 (y, z, n); //进行 DCT 逆变换
              for (i=0; i<=127; i++)
                { zm=(int)z[i]; //输出变换结果
                  pz[i] = zm;} //输出重构信号
                k++; } }
```

2.3 运行结果

设置观察窗口, 可以看到 DCT 变换的输入输出信号, 如图 5 和图 6 所示。

图 5 为正变换结果, 其中上方为输入信号, 下方为

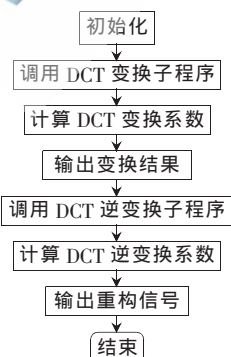


图 4 DCT 流程设计流程图

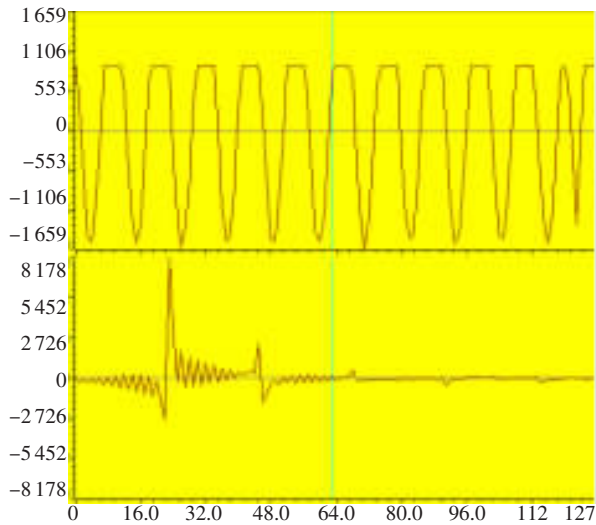


图5 DCT正变换结果

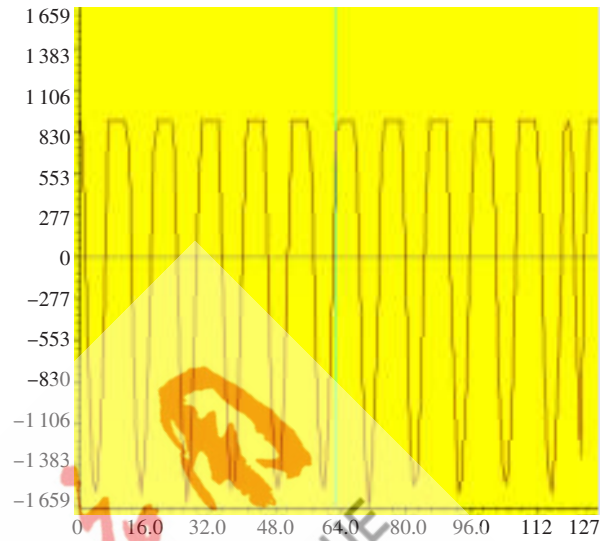


图6 DCT逆变换结果

输出信号。图6为逆变换输出结果,此输出波形与图5的输入波形一致,由此可以验证程序的正确性。

本文说明了数据采集ADC的功能和FFT算法的原理以及程序设计流程图,在CCS调试平台下,采用C语言编程实现了FFT算法,并且实时性好。阐述了离散余弦变换DCT基本原理,基于TMS320F2812 DSP实现了离散余弦变换。程序运行结果表明,DSP能够快速高效地完成一系列数字信号处理算法^[4]。

参考文献

- [1] 贾玮,杨录,张艳花.基于TMS320VC5416的FFT算法的实现[J].山西电子技术,2009(2):11-13.
[2] 万浩平,马进,王锋.基于TMS320F2812的高精度数据采

集及FFT实现[J].工业控制计算机,2009,22(4),54-55.

[3] 胡广书.数字信号处理[M].北京:清华大学出版社,2003.

[4] 伍小芹,吴秋丽.FIR数字滤波器在DSP上的实现[J].现代电子技术,2007(1):85-87.

(收稿日期:2011-11-12)

作者简介:

艾红,女,1962年生,硕士,副教授,硕士生导师,主要研究方向:检测技术与自动化装置。